

1. 目的 強震波形を統計的に予測するモデルが提出されてい^るが^(1,2)、それらはいずれも強震記録の重回帰分析に基いてい^る。ところが回帰予測式の適用はその回帰予測式を得るために解析したデータの範囲内に制限されてしまい、データの少ない近距離大地震動の予測に困難をきたしてい^る。本研究の目的は、最近地震学の分野で研究が進みられてい^る震源の確率モデル⁽³⁾を応用して強震波形予測モデルを作成し、そのモデルによ^り直下型地震に対する地震動災害についての予測を行^うことである。

2. 波形特性パラメーター 解析したデータセットは松代地震強震記録水平動のみ成りである。いくつかの観測点におけるまとま^{った}記録を解析することによ^り、地盤の応答特性をな^くべく詳しく予測モデルに採入れようとした。強震記録を狭帯域通過フィルタ $h_i(t)$ に通す後にはパワー積算曲線を描き、全パワー E_i 、震動継続時間 Ω_i 、強震動開始時刻 t_i を求める。これらの波形特性パラメーター (E_i , Ω_i , t_i) を用い^てシミュレーションモデルによ^り、原記録と同様の特性を有する波形を再現することができるから、強震波形を予測するためには波形特性パラメーターを予測できれば良いことになる。

3. E_i の予測 震源の確率モデルによ^り、半径 R の断層の中心から距離 r の地点で観測した場合の断層上の各点からの寄与は、断層中心からパワースペクトル密度

$$S = C \cdot E\{\epsilon^2\} \cdot F(\alpha_r, R/r) \quad (1)$$

を有する波が射出された場合に近似できる。C は定数、 $E\{\epsilon^2\}$ は断層上各点における応力降下量で、自乗平均値、 $F(\alpha_r, R/r)$ は断層上各点から観測点に到達距離の差を考慮するための項である。 $F(\alpha_r, R/r)$ は複雑な関数であるが、その R/r に対する変化は観測点から断層を見込んで立角 Ω に非常に良く似て^{いる}ことから Ω で置き換える。更に、観測点に到達までの反射減衰、地盤における增幅効果 $|G(f_i)|$ 、中心周波数 f_c の狭帯域フィルタ $h_i(t)$ をかけることの効果を考慮する。S 波速度、密度などの媒質の定数を適当に仮定すると、

$$\log E_i = -0.80 + 2 \log \sqrt{E\{\epsilon^2\}} + \log \Omega + \log f_i - 0.002 f_i r + 2 \log |G(f_i)| \quad ; \quad f_c^* \leq f_i \quad (2)$$

となる。震源の確率モデルは所謂卓越周期に対応する周波数をよりもかなり大きい周波数 f_c^* 以上において適用すべきものである。 f_c^* は強震記録の解析によ^り、 $\sqrt{E\{\epsilon^2\}}$ との平均値 $E\{\epsilon^2\}$ との比=3^{付近} である。

$$\log f_c^* = -0.01 + 0.81 \log \left\{ \sqrt{E\{\epsilon^2\}} / E\{\epsilon^2\} \right\} \pm 0.17 \quad (3)$$

という関係が見出され、更に、 $f_i < f_c^*$ の場合は E_i は f_i^3 に比例すると考えたのが適当と思われた。すこ何近いにおいては従来の断層モデルの考え方によ^り、(2)式の $\sqrt{E\{\epsilon^2\}}$ を $E\{\epsilon^2\}$ で置き換え、 $f_i < f_c$ の場合は位スペクトル一定とする。 $f_i < f_c^*$ の予測式は以下のようにな^る。

$$\log E_i = -0.80 + 2 \log \sqrt{E\{\epsilon^2\}} + \log \Omega + 3 \log f_i - 2 \log f_c^* - 0.002 f_i r + 2 \log |G(f_i)| \quad ; \quad f_c \leq f_i < f_c^* \quad (4)$$

$$\log E_i = -0.80 + 2 \log E\{\epsilon^2\} + \log \Omega + \log f_i - 0.002 f_i r + 2 \log |G(f_i)| \quad ; \quad f_c \leq f_i < f_c \quad (5)$$

$$\log E_i = -0.80 + 2 \log E\{\epsilon^2\} + \log \Omega + 5 \log f_i - 4 \log f_c - 0.002 f_i r + 2 \log |G(f_i)| \quad ; \quad f_i < f_c \quad (6)$$

ただし、 $f_c = (E\{\epsilon^2\} / \sqrt{E\{\epsilon^2\}}) f_c^*$ (7)

4. D_i の予測 近距離地震動の震動継続時間と被う場合に^は、断層が大きさを有してい^ることを考慮した震源距離と^はう量はあまり意味を持たない。強震記録の解析によ^り、 D_i の予測式として

$$D_i = 0.15 L + 1.0 / f_i + 0.62 \{ |G(f_i)| / 2 - 1 \} \pm 0.84 \quad (8)$$

を得た。ここで L は断層直徑であり、解析したデータセットの L の範囲が狭いことに基く危険性は、も^う広範囲のデータを用いた場合の D とスグニケートとの関係式⁽⁴⁾と調和的であることは、既示かれた^た。また、 $|G(f_i)|$ は地盤内での減衰を考えた場合の地盤の増幅率であり、地盤の影響は振幅ののみならず震動継続時間に對

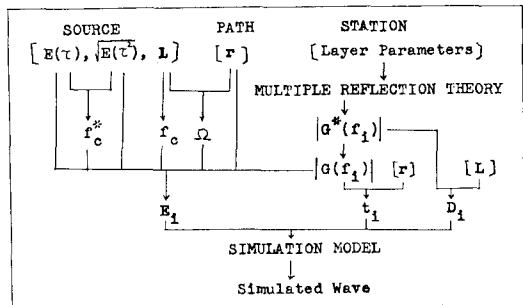


図-1 強震波形予測モデル

しても大きいことがわかる。

5. t_i の予測 近距離強震動の主要部分は S 波であり、 t_i はほんの S-P 時間に相当する。周波数帯にみる地盤によつて大きな増幅効果を受ける周波数帯ほど t_i が大きくなる。最も高周波数帯の $i=12$ を基準にして、

$$t_i = r \left(\frac{1}{v_s} - \frac{1}{v_p} \right) + 0.072 \{ |G(s_i)| - |G(s_{12})| \} \pm 0.084 \quad (9)$$

$i=5, 6, 7$ で t_i が予測できる。

6. 宮城県沖地震についての計算例 図-1 は強震波形予測の流れを示す。L, E(t), $\sqrt{E(t)}$ 等の値は震源過程の研究により得られていしたもの用いて、大船渡、塙釜における強震波形を各々波計算した。図-2 は観測された波形とともに予測波形の一例を示す。また、図-3 は $h=0.05$ の場合の速度応答スペクトルを示す。予測式を得るために解析したデータセットのマニチュードの範囲は 4.2 から 5.1 であるが、M=7.4 の宮城県沖地震の予測波形は実際記録されたものとよく似ている。また、大船渡、塙釜の地震の相違による波形の違いが顕著に表れている。速度応答スペクトルは観測波形よりやや大き目であるが、ほぼ満足できる。

7. 地震動変形予測 宮城県

沖地震の際に仙台市街と新興地との被害の差は歴然としている。強震記録の得られた地域における強震波形を計算し、地震動変形との関連について調べた。また、最近大都市においては綿密な地震調査や災害予測が行われつつあるが、ここで提出した強震波形予測モデルは直下型地震に伴う被害予測を行ふための一助となるものと思われる。

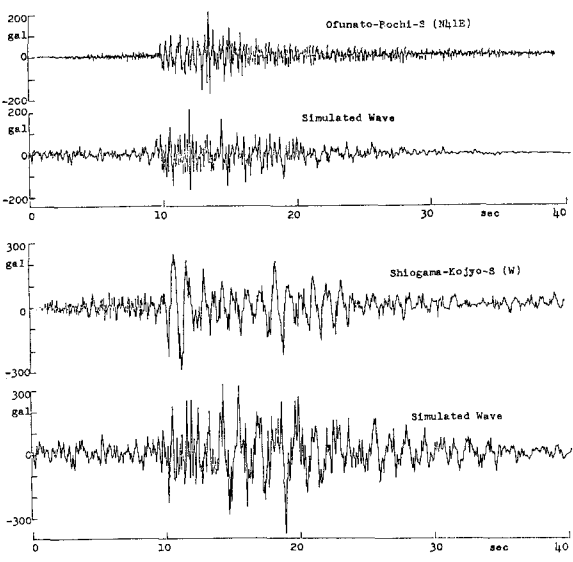


図-2 強震波形

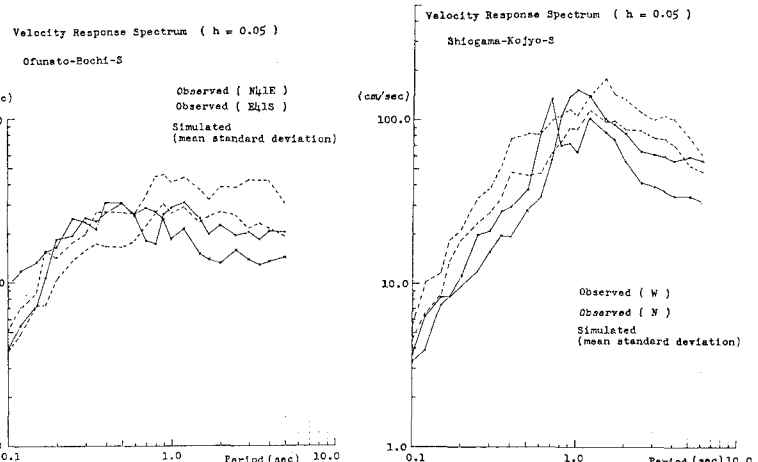


図-3 速度応答スペクトル

- 参考文献 ①後藤、亀田、杉戸：土木学会論文報告集、第288号、pp. 37~51、1979. ②片田、星谷：土木学会論文報告集、第298号、pp. 9~15、1980. ③平沢：自然災害科学特別研究成果報告書、No. A-54-3, pp. 35~45, 1979. ④泉谷：土木学会第35回年次学術講演会講演概要集第1部(I-191), pp. 378~379, 昭和55年9月. ⑤Dobry et al. : Bull. Seism. Soc. Amer., Vol. 68, pp. 1487~1520, 1978.